

การศึกษาความหลากหลายทางพันธุกรรมของไฝในประเทศไทย

โดยใช้เครื่องหมายโมเลกุลชนิด EST-SSR จากอ้อย

Genetic Diversity of Bamboo in Thailand

as Revealed by Sugarcane EST-SSR Markers

อนุชสา บุญชาญ และกิตติพัฒน์ อุ่มยักษิ*

ภาควิชาเทคโนโลยีชีวภาพ คณะวิทยาศาสตร์และเทคโนโลยี มหาวิทยาลัยธรรมศาสตร์ ศูนย์รังสิต
ตำบลคลองหนึ่ง อำเภอคลองหลวง จังหวัดปทุมธานี 12120

ธัญพิสิษฐ์ พวงจิก

ภาควิชาเทคโนโลยีการเกษตร คณะวิทยาศาสตร์และเทคโนโลยี มหาวิทยาลัยธรรมศาสตร์ ศูนย์รังสิต
ตำบลคลองหนึ่ง อำเภอคลองหลวง จังหวัดปทุมธานี 12120

บทคัดย่อ

ไฝเป็นพืชที่มีการกระจายตัวในหลายภูมิภาคของโลก ในภูมิอากาศร้อนชื้นอย่างประเทศไทย สามารถพบไฝได้ทั่วโลกในประเทศไทย การศึกษาเกี่ยวกับโครงสร้างทางพันธุกรรมและความหลากหลายทางพันธุกรรมของไฝเป็นส่วนสำคัญในจำแนกและวางแผนการอนุรักษ์พันธุ์ ไฝ เครื่องหมายโมเลกุลชนิด EST-SSR พัฒนามาจากลำดับเบสที่อนุรักษ์ของยีน สามารถถ่ายโอนข้อมูลของพืชที่มีวิวัฒนาการใกล้เคียงกันได้ ในการศึกษานี้ใช้เครื่องหมายโมเลกุลชนิด EST-SSR จากอ้อยมาใช้ในการศึกษาโครงสร้างทางพันธุกรรมและความหลากหลายทางพันธุกรรมของไฝที่เก็บมาจากพื้นที่ต่างๆ ในประเทศไทย ผลการทดลองพบว่าเครื่องหมาย EST-SSR ของอ้อยจำนวน 53 เครื่องหมาย สามารถใช้ได้ในไฝ 11 สกุล 32 สปีชีส์ จำนวน 11 เครื่องหมาย มี 8 เครื่องหมายที่สามารถสร้างแอดเดนเดิน polymorphic ได้ทั้งหมด 232 แอดเดนเดิน มีค่า Polymorphism Information Content เฉลี่ยเท่ากับ 0.72 แสดงให้เห็นว่าเครื่องหมายโมเลกุลชนิด EST-SSR ของอ้อยสามารถใช้ในการวิเคราะห์ความหลากหลายทางพันธุกรรมของไฝได้ดี ผลการวิเคราะห์การจัดกลุ่มของตัวอย่าง ไฝ นั้นพบว่าโดยส่วนใหญ่ไฝสามารถจัดกลุ่มอยู่ในสกุลเดียวกันและพื้นที่ที่เก็บตัวอย่างใกล้เคียงกัน จากการวิเคราะห์ความแปรปรวนของพันธุกรรม ไฝพบว่าความแปรปรวนของพันธุกรรม ไฝ ได้รับอิทธิพลจากความหลากหลายของสปีชีส์ ไฝที่อยู่ภาษในสกุลเดียวกันมากกว่าอิทธิพลจากความแตกต่างของสกุล

คำสำคัญ : ไฝ ความหลากหลายทางพันธุกรรม อ้อย EST-SSR

*ผู้รับผิดชอบบทความ : ku@tu.ac.th

Abstract

Bamboos are widely distributed in the diverse climates around the world, and there are many genera of bamboos in Thailand. Understanding genetic structure and diversity of bamboos is important for identifying and planning for conserving programs. Express sequence tags derived simple sequence repeat (EST-SSR) markers developed from conserved coding sequences show considerable cross-species transferability in related species. In the present study sugarcane EST-SSR markers were selected and used for evaluation of genetic structure and genetic diversity of bamboos collected from different regions within Thailand. Of 53 Sugarcane EST-SSR markers, 11 markers could be transferred into 32 species from 11 genuses of bamboos. A total of 232 alleles were detected from eight polymorphic EST-SSR markers. Transferred EST-SSR markers revealed a high average polymorphism information content of 0.72 indicating that the markers was efficiently utilized for phylogenetic and genetic diversity analyses in bamboo. Cluster analysis reflected geographic distance and related species within genus. An analysis of molecular variance indicated that the genetic variation among species within genus contributed mainly to the total genetic variation of bamboo distributed in Thailand.

Keywords: genetic diversity, bamboo, EST-SSR, sugarcane

1. บทนำ

ไผ่เป็นพืชตระกูลหญ้าที่มีอายุยืนยาวที่สุด บางชนิดมีอายุถึงร้อยปี เป็นพืชที่มีชีวภาพกษัณิ辟แบบ monocarpic เมื่อออกดอกและผลิตเม็ดเมล็ดแล้วดับลงไม่มีจะตายไป ไผ่มีถิ่นกำเนิดและการกระจายพันธุ์อย่างกว้างขวางตามธรรมชาติ ครอบคลุมเกือบทุกส่วนทั่วโลก ทั้งในเขตหนาว เขตอบอุ่น และเขตวอร์มเขตอบน ในทวีปปูโรป การกระจายพันธุ์มีมากที่สุดในเขตวอร์มทางตอนใต้และตะวันออกเฉียงใต้ของทวีปเอเชีย คือ มีการกระจายพันธุ์ประมาณ 45 ศักดิ์ จาก 91 ศักดิ์ทั่วโลก จึงนับได้ว่าไผ่นั้นเป็นพืชที่มีความหลากหลายทางพันธุกรรมชนิดหนึ่ง [1]

เนื่องจากประเทศไทยเป็นประเทศที่อยู่ในเขตร้อนจังหวัดภูมิอากาศ และลักษณะภูมิประเทศที่เหมาะสมแก่การกระจายและการเริ่มน้ำ โถดังไผ่ซึ่งถือว่าเป็นศูนย์กลางการกระจายพันธุ์ไผ่แห่งหนึ่ง

ของโลก [2] เราจึงสามารถพนัยพันธุ์ไผ่ชนิดต่างๆ กระจายอยู่ทั่วทุกภาคของประเทศไทย ด้วยเหตุนี้เอง ไผ่จึงเป็นพืชที่อยู่คู่กับชีวิตประจำวันของคนไทยมาตั้งแต่สมัยโบราณ คนไทยเรารู้จักการใช้ประโยชน์จากไผ่ โดยการนำมาสนองต่อความต้องการพื้นฐานในด้านต่างๆ เช่น นำห่านอไผ่มาใช้เป็นอาหาร นำเส้นใยที่ได้จาก การดีเทียมไผ่มาทำเครื่องนุ่งห่ม นำลำไผ่มาทำเป็นที่อยู่อาศัย นำมาสร้างเป็นของประดับตกแต่งบ้าน หรือนำมาทำเป็นของใช้ในครัวเรือน ในปัจจุบันนี้ไผ่ได้กลายเป็นพืชเศรษฐกิจอีกชนิดหนึ่งของไทย เนื่องจากมีการทำอุตสาหกรรมเกี่ยวกับการแปรรูปและส่งออกไผ่เพิ่มมากขึ้น นอกจากนั้นผลิตภัณฑ์จากไผ่ และหน่อไผ่สดยังทำรายได้ให้ประเทศเพิ่มมากขึ้นด้วย ในประเทศไทยนั้นสามารถพนัยพันธุ์ไผ่ประมาณ 15 ศักดิ์ [2] ซึ่งคาดว่าอาจมีบางชนิดที่ยังสำรวจไม่พบเนื่องจากอาจอยู่ในป่าลึก และขาดผู้เชี่ยวชาญในการ

จำแนกพันธุ์ อุปสรรคที่สำคัญอีกประการหนึ่งในการจำแนกพันธุ์ ไฝ่คือ การที่ไฝ่มีอายุขัยในการออกดอก และผลิตเมล็ดยาวนานและไม่สม่ำเสมอ ไฝแต่ละชนิดจะออกดอกและผลิตเมล็ดในอายุที่ต่างกัน ทำให้เกิดความลำบากในการเก็บตัวอย่างที่จะนำมาใช้ในการจำแนกพันธุ์ ด้วยเหตุผลข้างต้นทำให้มีการประยุกต์ใช้ความรู้เรื่องเครื่องหมายโมเลกุลเข้ามาช่วยในการศึกษาเกี่ยวกับความหลากหลายทางพันธุกรรมของไฝ่ ทำให้สามารถจำแนกพันธุ์ไฝ่ได้จำกัดขึ้นและมีความแม่นยำมากขึ้น

เครื่องหมายโมเลกุลชนิด EST-SSR (express sequence tag - simple sequence repeat) เป็นเครื่องหมายที่ได้รับความนิยมในการศึกษาความหลากหลายทางพันธุกรรม ทั้งในพืชและสัตว์ เนื่องจากสามารถพัฒนาได้อย่างรวดเร็ว จากการค้นหา SSR ในฐานข้อมูล EST ทำให้เสียค่าใช้จ่ายในการพัฒนาน้อย เป็นเครื่องหมายที่มีการถ่ายทอดพันธุกรรมแบบบ่ร่วม และเนื่องจากเป็นเครื่องหมายที่พัฒนาจากส่วนที่เป็นขีดดังนั้นจึงมีลำดับเบสอนุรักษ์ ทำให้สามารถใช้ประโยชน์ข้ามสปีชีส์หรือสกุลได้ดี [3,4] ในการวิจัยนี้เป็นการศึกษาความหลากหลายทางพันธุกรรมของไฝ่ที่สำรวจในประเทศไทย โดยใช้เครื่องหมายโมเลกุล EST-SSR จากอ้อยซึ่งเป็นพืชที่มีความใกล้ชิดทางพันธุกรรมกับไฝ่

2. อุปกรณ์และวิธีการทดลอง

2.1 พืชที่ใช้ในการศึกษา

ตัวอย่างไฝ่ทั้งหมด 11 สกุล 32 สปีชีส์ (ตารางที่ 1) จำนวน 49 ตัวอย่าง เป็นตัวแทนของไฝ่ที่เก็บรวบรวมได้ในประเทศไทย จากตัวอย่างที่เก็บมาทั้งหมด 136 ตัวอย่าง จากภาควิชาเทคโนโลยีการเกษตร คณะวิทยาศาสตร์และเทคโนโลยี มหาวิทยาลัย

ธรรมศาสตร์ ประชานิมนตร์ ไฝ และคุณสิริกพ อาจรักษา เจ้าของสวนไฝนานาพันธุ์ โดยกำหนดให้ไฝแต่ละสกุลเป็นตัวแทนกลุ่มประชากรพื้นฐาน

2.2 การสักดีอีนเอ

นำใบอ่อนสดของตัวอย่างไฝแต่ละตัวอย่างมาบดในไนโตรเจนเหลว เพื่อทำให้เซลล์แตกออก และสักดี Genomics DNA ออกมานาเซลล์โดยวิธีของ Gawel และ Jarnet (1991) [5]

2.3 การคัดเลือกเครื่องหมาย EST-SSR

คัดเลือกจากเครื่องหมาย EST-SSR ของอ้อย จำนวนทั้งหมด 58 เครื่องหมาย [5] มีหน้าที่อยู่ใน 4 กลุ่ม คือ sugarcane metabolism, disease response, abiotic stress response และ growth regulator เพิ่มปริมาณดีอีนเอด้วยวิธี PCR กับตัวอย่างในเบื้องต้นจากทุกสกุล สกุลละ 1 ตัวอย่าง รวมทั้งหมด 11 ตัวอย่าง ส่วนประกอบ PCR ปริมาตรรวม 20 μl ประกอบด้วย DNA template 20 ng, PCR buffer, dNTPs 4 μM, MgCl₂ 10 μM, forward primer 10 pmol., reverse primer 10 pmol., Taq DNA polymerase 5U และอุณหภูมิที่ใช้ในปฏิกริยา PCR คือ denature ที่ 94°C นาน 5 นาที และต่อด้วย 35 รอบ อุณหภูมิที่ใช้เพิ่มปริมาณดีอีนเอ ประกอบด้วย 94°C นาน 1 นาที annealing สำหรับแต่ละเครื่องหมาย นาน 1 นาที extension 72°C นาน 2 นาที และ final extension 72°C นาน 7 นาที วิเคราะห์ผลผลิต PCR ด้วย 1.5% agarose gel electrophoresis เครื่องหมายที่สามารถเพิ่มจำนวนดีอีนเอได้ทั้ง 11 สกุล ถูกนำไปเพิ่มปริมาณดีอีนเอในตัวอย่างไฝ่ทั้งหมด นำผลผลิต PCR ไปวิเคราะห์ด้วย 6% denaturing polyacrylamide gel electrophoresis และย้อมดีอีนเอด้วยซิลเวอร์ไนเตรท แล้วนับจำนวนแอบดีอีนเอเพื่อใช้เป็นข้อมูลจิโนไทป์ในการวิเคราะห์

ตารางที่ 1 ตัวอย่างพืชที่นิยมใช้ในงานพัฒนาชุมชน 49 ตัวอย่าง ประจำปี พ.ศ. 11 ตุลาคม 2554

ชื่อวิทยาศาสตร์	ชื่อภาษาไทย	ที่มา	ชื่อภาษาไทย	ที่มา	ชื่อภาษาไทย	ที่มา
<i>Phyllodium ssp.</i>	ไม้ลอก	ต้นไม้บานบาน	<i>Dendrocalamus hamiltonii</i>	ไทรหัก (ไทรหัก)	เพราบูบี	ต้นชิงเชียงรายวัยรุ่น
<i>Phyllodium nigra</i>	ไม้ลอก	ไม้บูบี	<i>Dendrocalamus hamiltonii</i>	ไทรหัก	ลิ้นปูน	ไม้ลินปูน
<i>Phyllodium makinoi</i>	ไม้ลอกก้านหงอน	ไม้ลินปูน	<i>Dendrocalamus strictus</i> (Rob.)	ไทรหักดอต	ไทร (ไทรโพ) ไทรโคกขุนทดวัยรุ่น	ไทรโคกขุนทดวัยรุ่น
<i>Dendrocalamus membranaceus</i>	ไม้ลอกงามวัวดอ	ไทรโคกขุนทดวัยรุ่น	<i>Dendrocalamus latiflorus</i> Munro	ไทรเขียวคำ	ไทรโคกขุนทดวัยรุ่น	ไทรโคกขุนทดวัยรุ่น
<i>Dendrocalamus membranaceus</i>	ไม้ลอกงามวัวดอ	ไทรโคกขุนทดวัยรุ่น	<i>Dendrocalamus copelandii</i>	ไทรเขียวคำ	ไทรโคก	ไทรโคก
<i>Dendrocalamus membranaceus</i>	ไม้ลอกงามวัวดอ	ไทรโคกขุนทดวัยรุ่น	<i>Dendrocalamus hecheyana</i>	ไทรเขียวคำ (ไทรหัก)	หมายถึงไทรโคกขุนทดวัยรุ่น	หมายถึงไทรโคกขุนทดวัยรุ่น
<i>Dendrocalamus membranaceus</i>	ไม้ลอกงามวัวดอ	ไทรโคกขุนทดวัยรุ่น	<i>Bambusa multiplex</i>	ไทรเขียวหวาน (หอมอุด)	หมายถึงไทรโคกขุนทดวัยรุ่น	ไตรเข็มบูบี
<i>Dendrocalamus auriculata Kurz</i>	ไม้ลอน	ไทรเขียวหวาน	<i>Bambusa multiplex</i>	ไทรเขียวหวาน	ไส้เข็มท้องฟ้าคราม	ไทรเข็มท้องฟ้าคราม
<i>Dendrocalamus auriculata Kurz</i>	ไม้ลอน	ไม้ลินปูน	<i>Bambusa tulda</i>	ไทรเขียวคำ	หมายถึงไทรโคกขุนทดวัยรุ่น	ไม้ตอก
<i>Dendrocalamus auriculata Kurz</i>	ไม้ลอน	ไม้ลินปูน	<i>Bambusa tulda</i>	ไทรเขียวคำ	หมายถึงไทรโคกขุนทดวัยรุ่น	ไม้ตอก
<i>Dendrocalamus asper Backer</i>	ไม้หง	ไม้ลินปูน	<i>Bambusa tulda</i>	ไทรเขียวคำ	ไทรเขียวคำ	ไม้ตอก
<i>Dendrocalamus asper Backer</i>	ไม้หง	ไม้ลินปูน	<i>Bambusa oldhamii</i>	ไทรหัก (ลี้)	ไทรเข็มท้องฟ้าคราม	ไทรเข็มท้องฟ้าคราม
<i>Dendrocalamus asper</i>	ไม้ลองซึมหรือรังสิม	ไม้ลินปูน	<i>Bambusa longistylular</i>	ไทรเข็มลอก	ไทรเข็มท้องฟ้าคราม	ไทรเข็มท้องฟ้าคราม
<i>Dendrocalamus sericeus</i>	ไม้เขียวงามบ่ม	ดอบดีช่องราซีช่องใหม่	<i>Bambusa thamnacana</i>	ไทรเข็มตอก	ไทรเข็มบูบี	ไตรเข็มบูบี
<i>Dendrocalamus sericeus</i>	ไม้เขียวงามบ่ม	ดอบดีช่องราซีช่องใหม่	<i>Bambusa vulgaris</i>	ไทรเข็มตอก	ไตรเข็มบูบี	ไตรเข็มบูบี
<i>Dendrocalamus brandisii Kurz</i>	ไม้ลอกหงอย	ทองผุนวินาญชนาดี	<i>Bambusa ventricosa</i>	ไทรเข็มตอก	ไบร์บัน พะรูบูบี	ไบร์บัน พะรูบูบี
<i>Dendrocalamus brandisii Kurz</i>	ไม้ลอกหงอย	ไม้ลินปูน				

2.4 การวิเคราะห์ข้อมูล

เก็บข้อมูลแลบดีเอ็นเอแบบการปราบภูมิและไม่ปราบภูมิแบบดีเอ็นเอ (แบบชั้นสมบูรณ์) ข้อมูลจีโนไทป์ที่ได้จากเครื่องหมายโมเลกุลชนิด EST-SSR ของอ้อยทั้งหมด 11 เครื่องหมาย จะถูกนำมาวิเคราะห์ polymorphism information content (PIC) [7] genetic similarity coefficient จากนั้นนำข้อมูลค่า coefficient ไปวิเคราะห์การจัดกลุ่มและนำมาสร้าง phylogenetic tree ด้วยวิธี unweighted pair group method with arithmetic means (UPGMA) โดยใช้โปรแกรม NTSYSpc 2.01 [8] วิเคราะห์ Shannon's Information index จำนวนแอบดีเอ็นเอทั้งหมด จำนวนแอบดีเอ็นเอแบบ polymorphic โดยใช้โปรแกรม POPGENE version 1.31 [9] และวิเคราะห์ analysis of molecular variance (AMOVA) ด้วยโปรแกรม ARLEQUIN 3.1 [10]

3. ผลการทดลองและวิจารณ์ผลการทดลอง

3.1 การคัดเลือกเครื่องหมาย EST-SSR

จากเครื่องหมายทั้งหมด 58 เครื่องหมาย เลือกมาจากขึ้น 4 กลุ่ม คือ sugarcane metabolism, disease response, abiotic stress response และ growth regulator สามารถคัดเลือกเครื่องหมายที่สามารถเพิ่มปริมาณดีเอ็นเอในปฏิกิริยา PCR ได้กับตัวอย่างไฝทั้งหมด 11 สกุล 32 สปีชีส์ มีจำนวน 11 เครื่องหมาย (ตารางที่ 2) โดยคิดเป็นอัตราการถ่ายโอนเครื่องหมายโมเลกุลชนิด EST-SSR จากอ้อย เข้าสู่ไฝเท่ากับ 18.97% ซึ่งอัตราการถ่ายโอนนี้มีค่าน้อยกว่าการศึกษา ก่อนหน้านี้โดย Sharma *et al.* (2008) [11] ที่ใช้เครื่องหมาย EST-SSR จากอ้อย ศึกษาไฝจำนวน 23 สปีชีส์ มีอัตราการถ่ายโอนเท่ากับ 75% ทั้งนี้เนื่องในการทดลองนี้ไฝที่นำมาศึกษามีความหลากหลาย

ของจำนวนสกุลและจำนวนสปีชีส์มากกว่าเมื่อเทียบกับงานวิจัยดังกล่าว ดังนั้นจำนวนของเครื่องหมายที่สามารถเพิ่มปริมาณแบบจำเพาะในทุกสปีชีส์ของไฝ จึงมีจำนวนน้อยกว่า แต่อย่างไรก็ตามเครื่องหมาย EST-SSR ของอ้อยที่ได้พัฒนาไว้แล้วก็สามารถนำมาใช้ประโยชน์ในพืชที่มีวิวัฒนาการใกล้เคียงกัน เช่น ในไฝซึ่งเป็นพืชตระกูลหญ้าเหมือนกัน โดยไม่ต้องมีค่าใช้จ่ายในการพัฒนา SSR เพิ่มแต่อย่างใด

3.2 การประเมินเครื่องหมายโมเลกุล EST-SSR

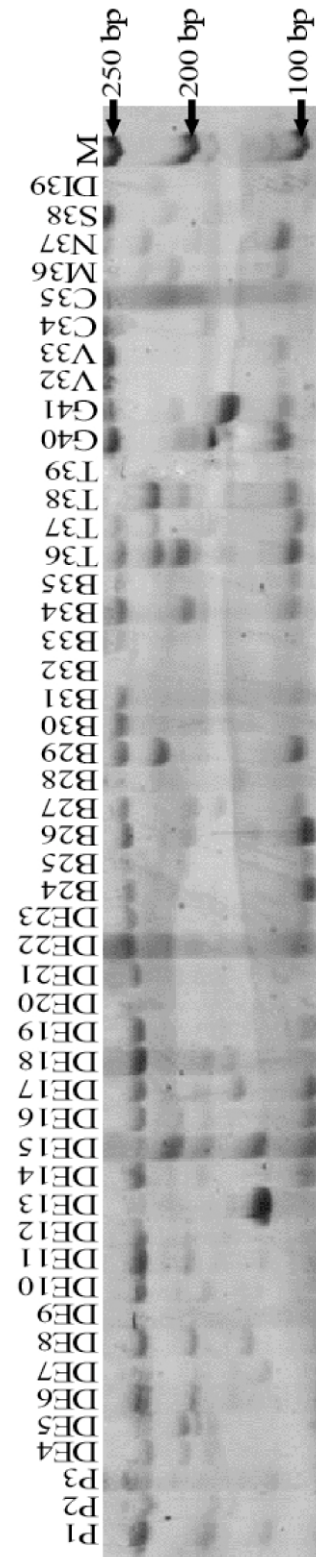
จากเครื่องหมายที่คัดเลือกได้ทั้งหมด 11 เครื่องหมายนั้นพบว่ามี 8 เครื่องหมาย ที่สามารถสร้างแอบดีเอ็นเอแบบ polymorphic คือเครื่องหมาย SEM425, SEM430, SEM432, SEM435, SEM436, SEM447, SEM451 และ SEM455 ส่วนเครื่องหมายที่เหลือคือ SEM426, SEM431 และ SEM454 ไม่แสดงความแตกต่างระหว่างตัวอย่าง ไฝที่นำมาศึกษา ตัวอย่างลักษณะของแอบดีเอ็นเอที่แสดง polymorphic แสดงในรูปที่ 1

จากตัวอย่างภาพพบว่ามีการเกิดแอบดีเอ็นเอทั้งแบบที่เป็นแอบเดียวต่อตัวอย่าง สองแอบดีต่อตัวอย่าง และมี 4 ตัวอย่าง ที่เกิดแอบดีเอ็นมากกว่าสองแอบดี แก่ DE15 ไฝชางหม่น (*Dendrocalamus sericeus*) B29 ไฝหยก (*Bambusa oldhamii*) T36 ไฝราก (ไฝโยก 1) (*Thrysostachys siamensis*) และ T38 ไฝราก 2 (*Thrysostachys siamensis*) ลักษณะการเกิดแอบดีเอ็นเอแบบมากกว่าสองแอบเป็นไปได้ว่าตัวอย่างไฝเหล่านี้อาจเป็นไฝที่เป็นพืชพาก polyploid หรืออาจจะเกิดจากการ duplication ของยีนที่ใช้ศึกษา ผลการทดลองนี้สอดคล้องกับการศึกษาของ Sharma *et al.* (2008) [11] ที่ศึกษาความหลากหลายทางพันธุกรรมของไฝโดยใช้เครื่องหมายโมเลกุลชนิด

ตรางที่ 2 ตราฯ เศียรราษฎร์อุดหนุนที่กษัตริย์ให้ไว้

Marker	Motif	Forward primer (5'-3')	Reverse primer (3'-5')	Expected EST homology	E-value	PIC
SEM 425	(gcc)5	GTCGCCACCAGCAGCAAAT	TCTCGTAGCTGCTCGACTTC	Fructose-1,6-bisphosphatase, chloroplast precursor (FBPase)	2.00E-26	0.3642
SEM 426	(at)5	TCGAGAGCGGTITTCATCTTT	CITTCCTGTCAAGCCAAGTGA	Sugar transporter family protein	1.00E-14	-*
SEM 430	(cg)5	TCCGACTAACCTCAAAAGTCAAG	GACGGCATCTCTCTCTCTCC	sucrose synthase	7.00E-40	0.4288
SEM 431	(ca)6	CAATTCTCGATCCAAGAAGGT	CCATGACTCCCAATTGAAGG	alpha-amylase	7.00E-86	-*
SEM 432	(gc)6	CGCGTCGGTAGATTAGTAGCTC	AGCGAGTAGATGTTGATGACCC	Sugar transporter family protein	3.00E-70	0.9306
SEM 435	(ga)5	AGGCTGAGAGAGCAAAGAAAAGA	CCTAGGGATCCTTCGGGTTTC	stress-induced protein stil1	1.00E-31	0.9157
SEM 436	(tcc)5	GGTCCCCATACATAACACAAGCA	TGCATGAAAGAAGCTCAGGTG	disease resistance response protein-related/diregent protein-related	6.00E-45	0.6432
SEM 447	(gc)5	TGAGTTCACTTCCTCCCC	AGAAACTCCAAGGAGCAGCAG	low temperature and salt responsive protein-like	4.00E-12	0.9622
SEM 451	(cg)6	TAGTACCGGACAGACCTTCT	GACTGAAACGCAAAGAGCAG	cold induced protein-like	3.00E-22	0.9218
SEM 454	(ggd)6	GTAACTAGCAGCAACCTAGCC	ATCCCTCTTTGCTCCCT	water-stress protein-like protein	4.00E-16	-*
SEM 455	(gea)5	CCAAGGCTACCGGACATCTG	AGGACGGGTACTTGTGAGGT	dehydration-responsive element binding protein 3	2.00E-37	0.6267
	Mean					0.7242

* = ตรีรองหมายที่แสดงแกนต์ให้เนื่องแบบ Monomorphic



รูปที่ 1 การกัด削ต์อ่อนเยบ polymorphic ของคร่องหนา SEM 455 โดยเครื่องมือสตด M กับ Marker Hindf IV และแบบที่ 1 – 49 บนตัวอย่างที่ 49

EST-SSR ของอ้อຍ Yu *et al.* (2004) [12] ที่ศึกษาเครื่องหมาย EST-SSR ของข้าวสาลี และ Saha *et al.* (2004) [13] ศึกษาเครื่องหมายโมเลกุลชนิด EST-SSR ของหญ้า *Festuca arundinacea* ที่เป็นพืชในวงศ์เดียวกันแล้วพบลักษณะการเกิดแอบดีอีนเอที่เกิดจาก การ duplication ของยีนที่ใช้ศึกษา และการเกิดแอบดีอีนเอที่เป็นพืช polyploidy เครื่องหมาย EST-SSR จำนวน 8 เครื่องหมาย ที่สามารถสร้างแอบดีอีนเอแบบ polymorphic สามารถสร้างจำนวนแอบดีอีนเอได้ทั้งหมด 232 แอบดี เมื่อนำมาศึกษาในตัวอย่างไฝทั้งหมด จำนวนแอบดีอีนเอเฉลี่ยต่อไฟเรเมอร์เท่ากับ

29 แอบดี (แอลลีด) (ตารางที่ 3) พบร่วมค่า PIC ซึ่งเป็นค่าที่แสดงถึงประสิทธิภาพของเครื่องหมาย แต่ละเครื่องหมายมีค่า PIC อยู่ในช่วง 0.3642-0.9622 โดยเครื่องหมายที่มีค่า PIC ต่ำสุดคือ SEM425 มีค่า PIC เท่ากับ 0.3642 ส่วนเครื่องหมายที่มีค่า PIC สูงที่สุดคือ SEM447 มีค่า PIC เท่ากับ 0.9622 เครื่องหมายทั้งหมด มีค่า PIC เฉลี่ยเท่ากับ 0.7242 แสดงว่าเครื่องหมาย EST-SSR จากอ้อຍสามารถใช้ในการวิเคราะห์ความหลากหลายทางพันธุกรรมของไฝได้ดีเนื่องจากค่า PIC ที่ได้นั้นมีค่าสูง ซึ่งสอดคล้องกับงานวิจัยที่มีการศึกษาค่อนหน้านี้ของ Sharma *et al.* (2008) [11]

ตารางที่ 3 ความหลากหลายทางพันธุกรรมของไฝจำแนกตามสกุล ไฝทั้งหมด 11 สกุล

Genus	จำนวน ตัวอย่าง	Shannon's Information index	จำนวนแอบดีอีนเอ แบบ Polymorphic
<i>Phyllostachys</i> spp.	3	0.13	22
<i>Dendrocalamus</i> spp.	20	0.29	92
<i>Bambusa</i> spp.	12	0.23	64
<i>Thrysostachys</i> spp.	4	0.14	29
<i>Gigantochloa</i> spp.	2	0.08	13
<i>Vietnamosasa</i> spp.	2	0.12	20
<i>Cephalostachyum</i> spp.	2	0.16	27
<i>Melocanna</i> spp.	1	0.00	0
<i>Neohouzeana</i> spp.	1	0.00	0
<i>Schizostachyum</i> spp.	1	0.00	0
<i>Dinochloa</i> spp.	1	0.00	0

3.3 การวิเคราะห์ความหลากหลายทางพันธุกรรมของไฝ

จากการวิเคราะห์การจัดกลุ่มตัวอย่างไฝ สปีชีล์ต่างๆ ด้วยวิธี UPGMA พบร่วมสามารถแบ่งออกได้เป็น 5 กลุ่มใหญ่ๆ (รูปที่ 2) โดยในแต่ละกลุ่มมีค่า

สัมประสิทธิ์ความคล้ายคลึงกันข้างสูง อยู่ระหว่าง 0.83-0.91 ทั้งนี้เนื่องจากโดยธรรมชาติส่วนใหญ่การขยายพันธุ์ของไฝเป็นการขยายพันธุ์โดยไม่ออาศัยเพศ ซึ่งเป็นการคงจีโนไทป์เดิมของไฝไว้ จึงทำให้มีความคล้ายคลึงกันของจีโนไทป์ภายในสปีชีล์เดียวกันสูง

โดยเฉพาะตัวอย่าง ไฝ่ที่เก็บในพื้นที่บริเวณใกล้เคียงกัน

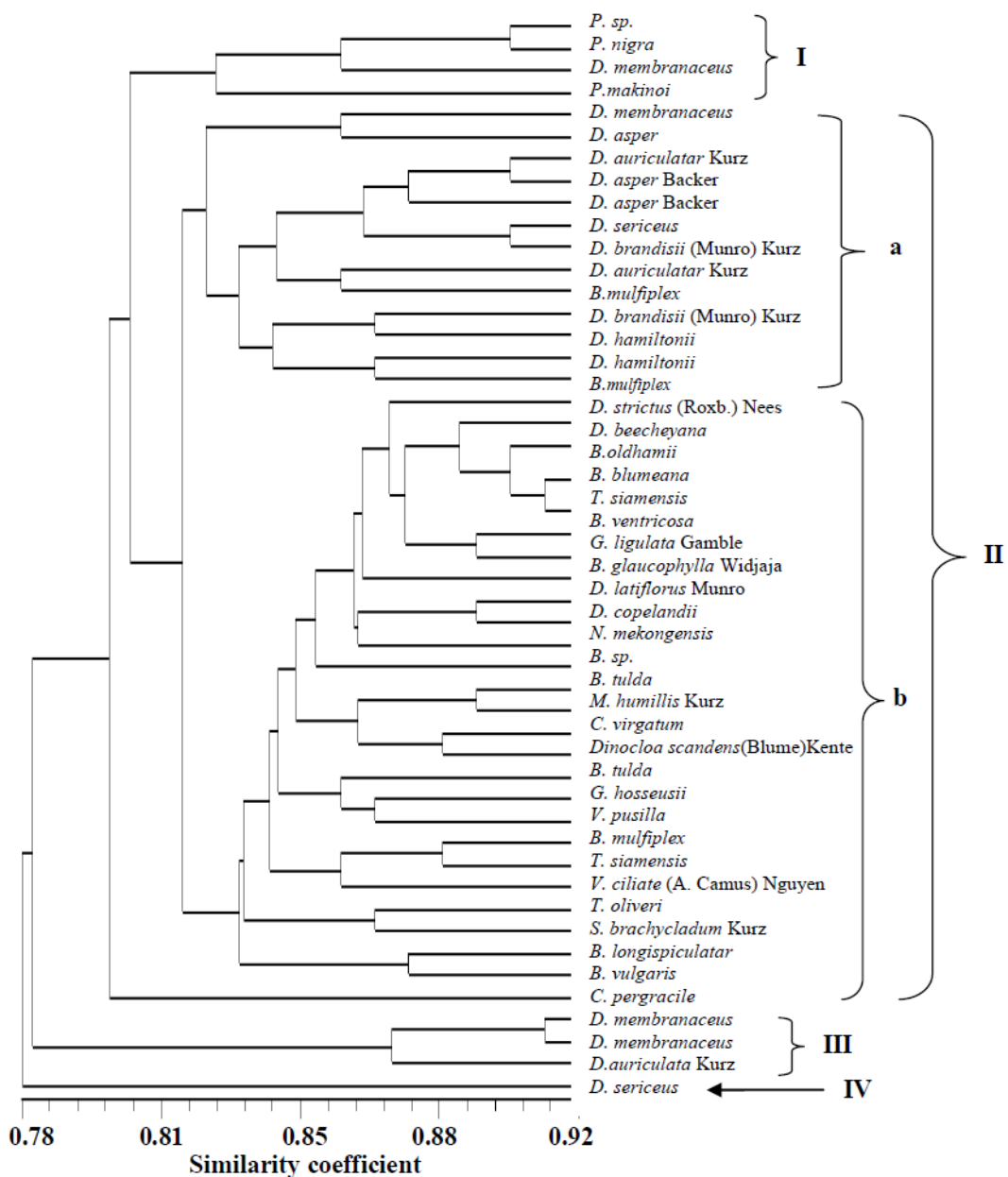
กลุ่มแรก (I) ของตัวอย่าง ไฝ่ส่วนใหญ่จะประกอบด้วยกลุ่มตัวอย่างในสกุล *Phyllostachys* spp. การจัดกลุ่มนี้ สอดคล้องกับการศึกษาของ Sharma et al. (2008) [11] ที่มีการจัดกลุ่มตัวอย่างในสกุล *Phyllostachys* spp. แยกออกจากสกุลอื่นๆ ได้ชัดเจน ส่วนกลุ่มที่สอง (II) จะประกอบด้วยตัวอย่างในสกุล *Bambusa* spp. สกุล *Cephalostachyum* spp. สกุล *Dendrocalamus* spp. สกุล *Dinochloa* spp. สกุล *Gigantochloa* spp. สกุล *Neohouzeana* spp. สกุล *Schizostachyum* spp. สกุล *Thysostachys* spp. สกุล *Vietnamosasa* spp. และ ไฝ่เกรียง (*Melocanna humillis* Kurz) โดยสามารถแบ่งออกเป็น 2 กลุ่มย่อย คือ กลุ่มย่อย a ส่วนใหญ่ประกอบด้วยสกุล *Dendrocalamus* spp. และกลุ่มย่อย b ที่ประกอบด้วย สกุล *Bambusa* spp. สกุล *Cephalostachyum* spp. สกุล *Dinochloa* spp. สกุล *Gigantochloa* spp. สกุล *Neohouzeana* spp. สกุล *Schizostachyum* spp. สกุล *Thysostachys* spp. สกุล *Vietnamosasa* spp. และ ไฝ่เกรียง (*Melocanna humillis* Kurz) การจัดแบ่งกลุ่มย่อยนี้มีความสอดคล้องกับลักษณะการออกดอกและ การกระจายพันธุ์ที่แตกต่างกันของ ไฝ่ และยัง สอดคล้องกับการศึกษาของ Watanabe et al. (1994) [14] ที่พบว่า ไฝ่สกุล *Gigantochloa* spp. มีความ ใกล้ชิดทางพันธุกรรมกับ ไฝ่สกุล *Bambusa* spp. นอกจากนั้นยังพบว่า มีบางตัวอย่างในสกุล *Dendrocalamus* spp. มีความใกล้ชิดทางพันธุกรรม กับ ไฝ่ในสกุล *Bambusa* spp. มากกว่า ไฝ่สปีชีส์อื่นๆ ในสกุลเดียวกัน สอดคล้องกับการศึกษาของ Li (1997) [15] ที่พบ ไฝ่บางสปีชีส์สกุลจัดกลุ่มให้อยู่กลุ่มเดียวกัน กับ ไฝ่ในสกุล *Bambusa* spp. กลุ่มที่สามมีเพียงสกุล

เดียวคือ *Cephalostachyum pergracile* ส่วนกลุ่มที่สี่ (IV) นั้นประกอบด้วย 3 ตัวอย่าง คือ DE5 ไฝ่ชางนวล (*Dendrocalamus membranaceus*) DE6 ไฝ่ชางนวล (*Dendrocalamus membranaceus*) และ DE8 ไฝ่มัน (*Dendrocalamus auriculata* Kurz) และ กลุ่มที่ห้า (IV) คือตัวอย่าง DE15 ไฝ่ชางหน่าน (*Dendrocalamus sericeus*) ซึ่งเป็นตัวอย่างที่ปลูกจากเมล็ด การที่ไฝ ตัวอย่างนี้ถูกแยกออกจากไฝชนิดอื่นๆ ในสกุลเดียวกันอาจเนื่องมาจากการที่ไฝ ตัวอย่างนี้ถูกแยกออกจากไฝชนิดอื่นๆ ในสกุลเดียวกัน อาจเนื่องมาจากการที่ไฝ ตัวอย่างนี้ได้รับการขยายพันธุ์โดยการเพาะเมล็ดซึ่งมีความแปรปรวนทางพันธุกรรมสูงกว่าการปลูกโดยไม่อาชีพ เพศ จึงทำให้เกิดความแตกต่างจากไฝตัวอย่างอื่นๆ มากที่สุด

เป็นที่น่าสังเกตว่า *Dendrocalamus* spp. สปีชีส์ต่างๆ เป็นสมาชิกในกลุ่มต่างๆ ทั้งสี่กลุ่ม ซึ่ง สอดคล้องกับการทดลองของ Wong (1995) [16] แสดงให้เห็นว่า ไฝ *Dendrocalamus* spp. มีความหลากหลายทางพันธุกรรมของสปีชีส์สกัดว่างมาก โดยสปีชีส์ส่วนใหญ่จะมีความคล้ายคลึงกับ ไฝ *Bambusa* spp. (รูปที่ 2)

3.4 การวิเคราะห์โครงสร้างทางพันธุกรรมของไฝ่แต่ละสกุล

การวิเคราะห์โครงสร้างทางพันธุกรรมของ ไฝ่แต่ละสกุล โดยการแบ่งกลุ่มประชากร ไฝ ออกเป็น 11 กลุ่ม ตาม ไฝทั้งหมด 11 สกุล ค่า Shannon's information index (I) ซึ่งเป็นค่าที่บ่งบอก ความหลากหลายทางพันธุกรรมภายในแต่ละสกุล สกุลที่มีค่า I สูงสุด คือ สกุล *Dendrocalamus* spp. มี ค่า I เท่ากับ 0.29 ส่วนสกุลที่มีค่า I เท่ากับ 0 มี 4 สกุล คือ *Melocanna* spp., *Neohouzeana* spp., *Schizostachyum* spp. และ *Dinochloa* spp. เนื่องจาก จำนวนตัวอย่างของทั้ง 4 สกุล นั้นมีสกุลละ 1 ตัวอย่าง



รูปที่ 2 Phylogenogram แสดงการจัดกลุ่มของตัวอย่างไผ่

เท่านั้น ค่า I นี้ สอดคล้องกับจำนวนแอบดีอีนเอแบบ polymorphic และสัดส่วนการเกิดแอบดีอีนเอแบบ

สัดส่วนการเกิดแอบดีอีนเอแบบ polymorphic โดยสกุล *Dendrocalamus* spp. นั้นมี จำนวนการเกิดแอบดีอีนเอแบบ polymorphic สูงสุด

คือ 92 แอบดีอีนเอแบบ polymorphic สูงสุด 77.97% เนื่องจากสกุล *Dendrocalamus* spp. ที่ศึกษาในการทดลองครั้งนี้มี จำนวนตัวอย่างและจำนวนสปีชีส์มากที่สุดเมื่อเทียบ กับไผ่สกุลอื่นที่นำมาศึกษา สกุล *Bambusa* spp. มี

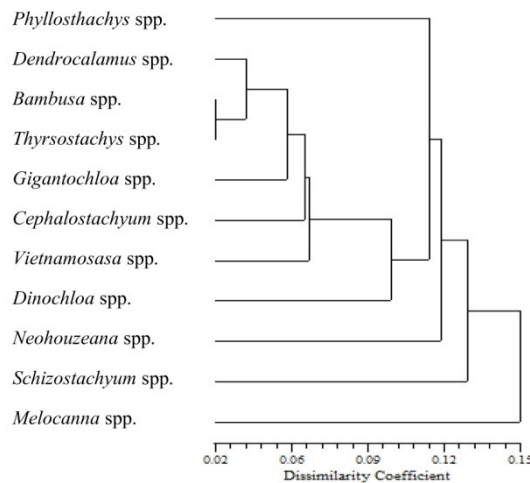
จำนวนการเกิดแอบนดีอีนเอแบบ polymorphic รองลงมาท่ากัน 64 มีค่า I เท่ากัน 0.23

ค่า I ของไฝแต่ละสกุลนอกจากจะสัมพันธ์ กับจำนวนตัวอย่างแล้ว ยังสัมพันธ์กับความ หลากหลายของพื้นที่ที่เก็บตัวอย่าง เมื่อเปรียบเทียบ กับจำนวนตัวอย่างและความหลากหลายของพื้นที่ที่ เก็บจะพบว่าไฝสกุล *Dendrocalamus* spp. มีความ หลากหลายสูงสุดเนื่องจากมีจำนวนตัวอย่างที่นำมา ศึกษา 20 ตัวอย่าง เก็บมาจาก 9 จังหวัดใน 5 ภูมิภาค ของประเทศไทย ในกรณีไฝสกุล *Phyllostachys* spp., *Thrysostachys* spp., *Gigantochloa* spp., *Vietnamosasa* spp. และ *Cephalostachyum* spp. แม้ว่า มีจำนวนตัวอย่างใกล้เคียงกัน คือ 3, 4, 2, 2 และ 2 ตามลำดับ สกุล *Cephalostachyum* spp. และ *Thrysostachys* spp. มีค่ามากที่สุดเท่ากัน 0.16 และ 0.14 ทั้งนี้เนื่องจากไฝในสกุล *Cephalostachyum* spp. เก็บมาจากจังหวัดที่มีตำแหน่งที่ค่อนข้างห่างกัน ดังนั้นในการวางแผนการเก็บตัวอย่างไฝที่จะใช้ใน การอนุรักษ์นั้นจึงควรพิจารณาถึงทั้งจำนวนตัวอย่าง และพื้นที่ในการเก็บตัวอย่างไฝเพื่อให้ครอบคลุม ความหลากหลายทางพันธุกรรมของไฝ จาก phylogram (รูปที่ 3) แสดงระบบห่างทางพันธุกรรม ของแต่ละสกุล ไฝ พบว่าไฝสกุล *Bambusa* spp. และ ไฝสกุล *Thysostachys* spp. มีความใกล้ชิดทาง พันธุกรรมมากที่สุด โดยมีค่า dissimilarity coefficient เท่ากัน 0.02 ผลที่ได้นี้ต่างจากการศึกษาของ Jin et al. (2000) [17] ที่พบว่าไฝสกุล *Bambusa* spp. และ ไฝ สกุล *Thysostachys* spp. ที่ความใกล้ชิดทางพันธุกรรม ต่ำ โดยมีค่า dissimilarity coefficient ประมาณ 0.70 ไฝที่มีความใกล้ชิดทางพันธุกรรมน้อยที่สุด คือ กลุ่ม ตัวอย่างสกุล *Shizostachyum* spp. และกลุ่มตัวอย่าง สกุล *Melocanna* spp. ซึ่งมีค่า dissimilarity

coefficient ประมาณ 0.13 ลักษณะการจัดกลุ่มตัวอย่าง ของ Phylogram นี้ใกล้เคียงกับจัดแบ่งกลุ่มตัวอย่างไฝ ทั้ง 32 สปีชีส์ในรูปที่ 2 โดยจัดกลุ่มให้สกุล *Phyllostachys* spp. แยกออกจากสกุลอื่นเป็นกลุ่ม หนึ่งเฉพาะสกุล และจัดรวมไฝสกุล *Bambusa* spp. สกุล *Cephalostachyum* spp. สกุล *Dendrocalamus* spp. สกุล *Dinochloa* spp. สกุล *Gigantochloa* spp. สกุล *Thysostachys* spp. และสกุล *Vietnamosasa* spp. รวมอยู่ในกลุ่มใหญ่กลุ่มเดียวกัน การจัดกลุ่มไฝสกุล *Thysostachys* spp. รวมกับไฝสกุล *Bambusa* spp. และ ไฝสกุล *Gigantochloa* spp. มีค่าข้ามกับการศึกษาของ Watanabe et al. (1994) [14] และ Jin et al. (2000) [17] ที่ศึกษาพบว่าไฝสกุล *Thysostachys* spp. น้อยกว่า Subtribe Bambusinae เช่นเดียวกันกับไฝสกุล *Bambusa* spp. และไฝสกุล *Gigantochloa* spp. ไฝ สกุล *Melocanna* spp. ถูกแยกออกจากไฝสกุลอื่นอย่าง ชัดเจน เนื่องจากไฝสกุลนี้มีค่า dissimilarity coefficient มากที่สุด ซึ่งการจัดกลุ่มนี้สอดคล้องกับ การจัดจำแนกไฝตามอนุกรมวิธาน (Ohrnberger, 1999) [17] ที่ศึกษาพบว่าเมื่อจัดจำแนกไฝออกเป็น กลุ่มตามสกุล ไฝสกุล *Melocanna* spp. จะถูกจัดกลุ่ม แยกไปรวมกลุ่มอยู่กับไฝในสกุล *Ochlandra* spp. ซึ่ง เป็นคนละกลุ่มกับไฝที่ศึกษาในการทดลองนี้

จากการวิเคราะห์ความแปรปรวนทาง พันธุกรรมด้วยวิธี AMOVA พบว่าค่าความแปรปรวน ทางพันธุกรรมของไฝหลากหลายสปีชีส์ที่อยู่ภายในสกุล เดียวกันมีค่า 90% (ตารางที่ 4) ของความแปรปรวน ทางพันธุกรรมทั้งหมด ขณะที่ความแปรปรวนทาง พันธุกรรมระหว่างสกุลคิดเป็นสัดส่วน 10% ของ ความแปรปรวนทางพันธุกรรมทั้งหมด และให้เห็น ว่าความหลากหลายทางพันธุกรรมของไฝในประเทศ ส่วนใหญ่ เป็นผลจากความหลากหลายทางพันธุกรรม

ของสปีชีส์ ดังนั้นในการอนุรักษ์พันธุกรรมไม่เพื่อ
คำรังความหลากหลายทางพันธุกรรมของ ไฝจึงควรให้
ความสำคัญกับการเก็บรวบรวมไฝหลากหลาย สปีชีส์



รูปที่ 3 Phylogram แสดงระยะห่างทางพันธุกรรมของ
ไฝ 11 สกุล

ตารางที่ 4 ผลการวิเคราะห์ AMOVA

Source of variation	d.f.	Sum of square	Variance components	Percentage of variation
Among Genus	10	139.589	1.0986	10
Within Genus	38	375.717	9.8873	90
Total	48	515.306	10.9859	

Fixation Index FST: 0.1000

4. สรุป

เครื่องหมาย EST-SSR จากอ้อยซึ่งเป็นพืชที่มี
วิถีวนานาการ ใกล้เคียงกับไฝ สามารถนำมาใช้ใน
การศึกษาความหลากหลายทางพันธุกรรมของไฝ
ได้ผลอย่างมีประสิทธิภาพโดยไม่ต้องเสียเวลาในการพัฒนาเครื่องหมาย SSR แต่อย่างใด เครื่องหมาย
EST-SSR จากอ้อยที่ใช้ในการศึกษารังน้ำมี
ความสามารถในการถ่ายทอดโอนมาใช้กับไฝต่าง

สกุล ได้เป็นจำนวนไม่นักนัก เนื่องจากความ
หลากหลายของสกุลและสปีชีส์ ไฝของการทดลองนี้มี
จำนวนมาก ความหลากหลายทางพันธุกรรมของไฝ
ในแต่ละสกุลมีความสัมพันธ์กับจำนวนตัวอย่างที่เก็บ
และความหลากหลายของพื้นที่เก็บตัวอย่าง ซึ่งเป็น
ปัจจัยที่ควรคำนึงถึงในการอนุรักษ์พันธุกรรมไฝใน
ประเทศไทยให้คำรังความหลากหลายทางพันธุกรรม
โดยอนุรักษ์พันธุกรรมของไฝสปีชีส์ต่างๆ ที่อยู่
ภายในแต่ละสกุล

5. กิตติกรรมประกาศ

งานวิจัยนี้ได้รับทุนอุดหนุนการวิจัยจาก
ภาควิชาเทคโนโลยีชีวภาพ คณะวิทยาศาสตร์และ
เทคโนโลยี มหาวิทยาลัยธรรมศาสตร์ ศูนย์รังสิต

6. เอกสารอ้างอิง

- [1] อนันต์ อนันต์โขต, 2534, “ไม้ไฝประเทศไทยที่
นำร่อง, ภาควิชาการจัดการป่าไม้ คณะ
ศาสตร์ มหาวิทยาลัยเกษตรศาสตร์, กรุงเทพฯ.
- [2] รุ่งนภา พัฒนพิมูลย์, บุญฤทธิ์ ภูริยากร และวัลย์
พร สถาติวิจัย, 2544, “ไม้ไฝในประเทศไทย,
กรุงเทพฯ.
- [3] Kantety, R., Rotal, M., Matthews, D. and
Sorrells, M., 2002, Data Mining for Simple
Sequence Repeats in Expressed Sequence Tags
from Barley, Maize, Rice, Sorghum and
Wheat, Plant Mol. Biol. 48: 501-510.
- [4] Varshney, R., Thiel, T., Stein, N., Langridge,
P. and Graner, A., 2002, In Silico Analysis on
Frequency and Distribution of Microsatellites
in ESTs of Some Cereal Species, Cell Mol.
Biol. Lett. 7: 537-546.

- [5] Gawel, N. L. and Jaret, R.L., 1991, A Modified CTAB DNA Extraction Procedure of *Musa* and *Ipomoea*, Plant Mol. Bio. Rep. 9: 262-266.
- [6] Thipmongkolcharoen, P., Poomipan, P. and Ukoskit, K., 2007, Development of EST-SSR Markers by Data Mining from Sugarcane ESTs, Abstracts of the 6th Asian crop science Association Conference, Bangkok, p. 55.
- [7] Botstein, D., White, R.L., Skolnick, M. and Davis, R.W., 1980, Construction of a Genetic Linkage Map in Man Using Restriction Fragment Length Polymorphisms, Am. J. Hum. Genet. 32: 314-331.
- [8] Rohlf, F. J., 1998, NTSYSpc: Numerical Taxonomy and Multivariate Analysis System, Version 2.02, Exeter Software, Setauket, New York.
- [9] Yeh, F.C., Yang, R.C. and Boyle, T., POPGENE, Microsoft Windows-based Freeware for Population Genetic Analysis, Release.
- [10] Schneider, S., Roessli, D. and Excoffier, L., 2000, Arlequin: A Software for Population Genetics Data Analysis, User Manual ver. 2.000, Genetics and Biometry Lab., Dept. of Anthropology, University of Geneva, Geneva.
- [11] Sharma, R.K., Gupta, P., Sharma, V., Sood, A., Mohapatra, T.B. and Ahuja, P.S., 2008, Evaluation of Rice and Sugarcane SSR Marker for Phylogenetic and Genetic Diversity Analyses in Bamboo, Genome 51: 91-103.